

Пятая всероссийская конференция  
«Вычислительный эксперимент в аэроакустике»  
22 – 27 сентября 2014 года, г.Светлогорск



# Численное моделирование задач газовой динамики и аэроакустики на вычислительных системах с графическими ускорителями

И.С. Меньшов, ИПМ РАН им. М.В. Келдыша  
П.В. Павлухин, НИИ «Квант», ИПМ РАН им. М.В. Келдыша

# Проблемы решения задач на суперкомпьютерах

- Суперкомпьютеры сегодня и завтра – с массовыми мультиядеровыми архитектурами;
- Алгоритмы под них должны обладать достаточной простотой;
- Трехмерные задачи во многих случаях со сложной геометрией и, следовательно, с сетками большого размера;
- Для явных схем (простых для распараллеливания) это влечет уменьшение шага по времени;



Размер задач растет, шаг по времени уменьшается, в результате – стремительный рост вычислительной сложности

# Предлагаемые подходы

- Рассмотрим с алгоритмической точки зрения простые методы, но без жесткого ограничения шага по времени;
- Вместо неструктурированных, многоблочных сеток для GPU предпочтительнее использовать декартовы сетки;
- Численный метод должен позволять решать задачи со сложной геометрией, представляемой на декартовой несвязной сетке;

# Математическая модель

Стандартная постановка (Эйлерова жидкость)

$$\frac{\partial \mathbf{q}}{\partial t} + \frac{\partial \mathbf{f}_i}{\partial x_i} = 0 \quad (\mathbf{U} - \mathbf{U}_s, \mathbf{n}) = 0 \quad p = (\gamma - 1)\rho(E - \frac{u^2}{2})$$

Альтернативная постановка с специальной правой частью – компенсационным потоком

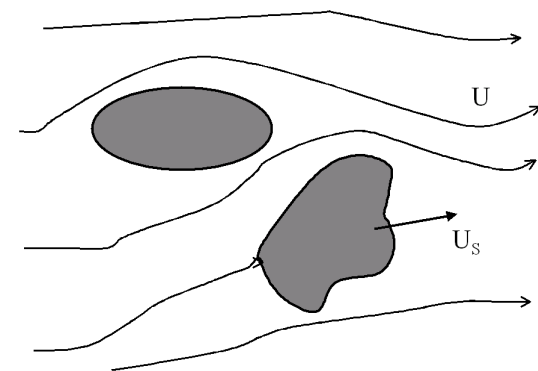
$$\frac{\partial \mathbf{q}}{\partial t} + \frac{\partial \mathbf{f}_i}{\partial x_i} = -\mathbf{F}_w$$

$$\mathbf{F}_w = \begin{pmatrix} \rho(\mathbf{U} - \mathbf{U}_s, \mathbf{n}) \\ \rho(\mathbf{U} - \mathbf{U}_s, \mathbf{n})\mathbf{U} + (p - p_w)\mathbf{n} \\ \rho(\mathbf{U} - \mathbf{U}_s, \mathbf{n})E + (p\mathbf{U} - p_w\mathbf{U}_s, \mathbf{n}) \end{pmatrix} \delta(\mathbf{x}, \Gamma)$$

$\mathbf{p}_w$  – мгновенная реакция со стороны жесткой стенки

$$u = (\mathbf{U} - \mathbf{U}_s, \mathbf{n}) < 0 \quad p_w = p \left[ 1 + \frac{\gamma(\gamma+1)}{4} M^2 + \sqrt{\gamma^2 M^2 + \frac{\gamma^2(\gamma+1)^2}{16} M^4} \right]$$

$$u = (\mathbf{U} - \mathbf{U}_s, \mathbf{n}) > 0 \quad p_w = p \left[ 1 - \frac{\gamma-1}{2} M \right]^{\frac{2\gamma}{\gamma-1}}$$



# Метод свободной границы (FBM)

$\Omega$  - объемлющее сеточное разбиение

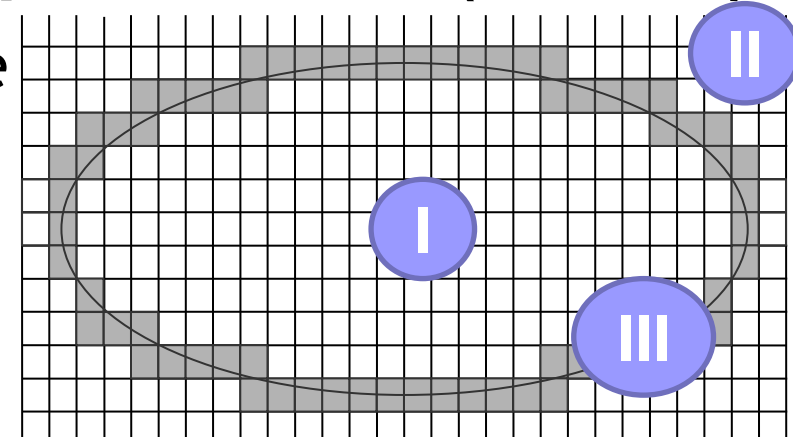
$D$  - твердое включение с  $\Gamma = \partial D$

3 типа ячеек:

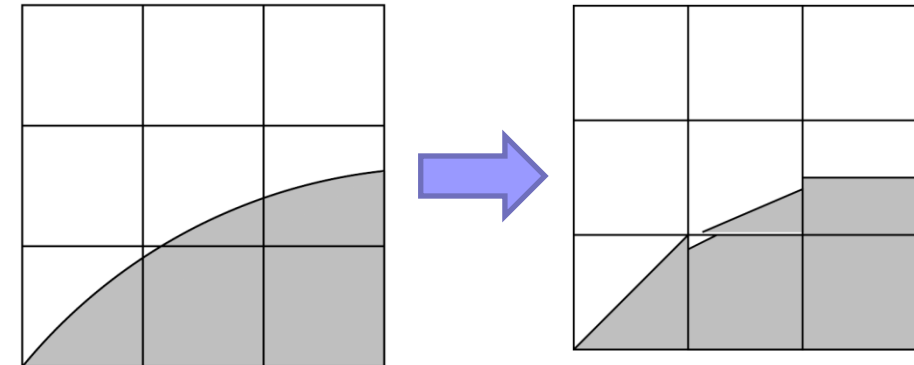
I. Внутри тв включения  $c_i \subset D$

II. Вне тв включения  $c_i \subset \Omega \setminus D$

III. Пересекающие  $\Gamma$  -  $c_i \cap \Gamma \neq \emptyset$



В ячейках типа III  
выполняется линейное  
приближение  $\Gamma$



По всем ячейкам из  $\Omega$  выполняется сквозной  
единообразный расчет.

# Численный метод

$$\frac{\partial \mathbf{q}}{\partial t} + \frac{\partial f_i}{\chi_i} = -\mathbf{F}_w$$

- дискретизация по пространству методом конечного объема;
- метод С. К. Годунова вычисления потоков на гранях ячеек;
- второй порядок точности по времени и пространству;

$$v_i \frac{\partial \mathbf{q}_i}{\partial t} = - \sum_{\sigma} s_{\sigma} \cdot \mathbf{f}_{\sigma} + v_c \cdot \mathbf{f}_c$$

Явная схема, устойчива с  $\Delta t \leq \lambda(\mathbf{q}_i^n)$

$$\mathbf{q}_i^{n+1} = \mathbf{q}_i^n - \frac{\Delta t}{v_i} \sum_{\sigma} s_{\sigma} \cdot \mathbf{f}_{\sigma}(\mathbf{q}^{\textcolor{red}{n}}) + \frac{\Delta t}{v_i} \cdot v_c \cdot \mathbf{f}_c(\mathbf{q}^{\textcolor{red}{n}})$$

Гибридная явно-неявная схема

$$\mathbf{q}_i^{n+1} = \mathbf{q}_i^n - \frac{\omega_i \Delta t}{v_i} \sum_{\sigma} s_{\sigma} \cdot \mathbf{f}_{\sigma}(\mathbf{q}^{\omega}) + \frac{\Delta t}{v_i} \cdot v_c \cdot \mathbf{f}_c(\mathbf{q}^{\textcolor{red}{n+1}})$$

$$t^{\omega} = \omega t^n + (1 - \omega) t^{n+1}$$

$$\mathbf{q}_i^{\omega} = \mathbf{q}_i^n + (1 - \omega_i)(\mathbf{q}_i^{n+1} - \mathbf{q}_i^n)$$

Схема абсолютно устойчива при  $\omega_i = \min\left(1, \frac{\lambda(\mathbf{q}_i^{\omega})}{\Delta t}\right)$

# Численный метод

$$\left(1 + \frac{(1-\omega_i)\Delta t}{\Delta\tau}\right) \delta q_i^s = -R_i^s - \frac{\Delta t}{v_i} \sum_{\sigma} s_{\sigma} \cdot \delta f_{\sigma} + \frac{\Delta t}{v_i} \cdot v_c \cdot \delta f_c$$

Итерационная невязка:

$$R_i^s = \frac{1}{v_i} \left( \sum_{\sigma} s_{\sigma} \cdot f_{\sigma}(q^{\omega, s}) + \omega_i \Delta q_i^s \right) + \frac{v_c}{v_i} \cdot f_c (q^{n+1, s})$$

$$\delta q_i^s = q_i^{n+1, s+1} - q_i^{n+1, s}$$

$$\Delta q_i^s = q_i^{n+1, s} - q_i^n$$

$$A \delta^s q = R$$

- СЛАУ для определения итерационного инкремента

Метод **LU-SGS**:

Факторизация:  $A = L + D + U \approx (L + D) * D^{-1} * (U + D)$

Forward:  $(L + D) \widetilde{\delta^s q} = R$

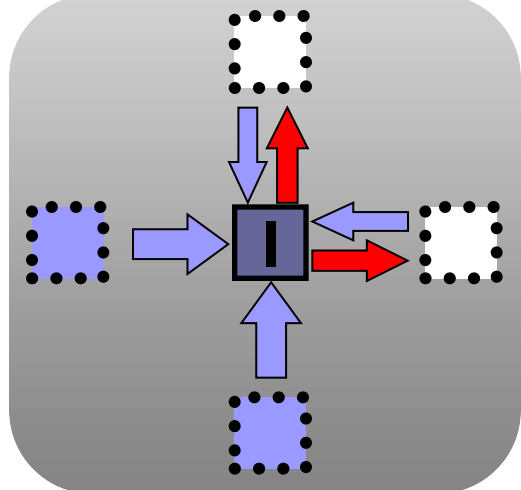
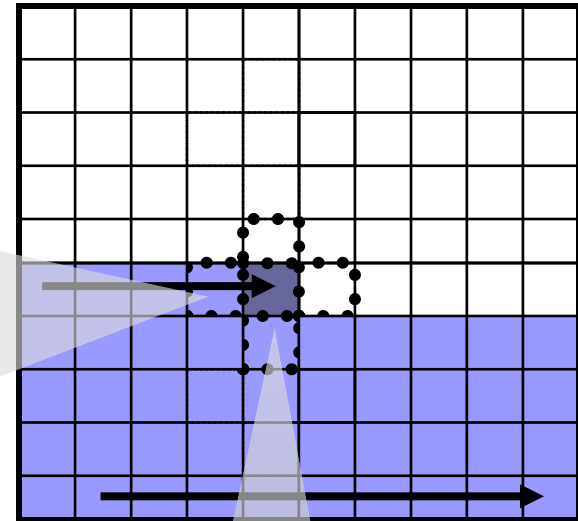
Backward:  $(U + D) \delta^s q = D \widetilde{\delta^s q}$

# Порядок обхода ячеек расчетной области, неявная схема:

```
if (I > J) { //сосед обсчитан
...
cell[I] = f1(cell[J]);
...
}

if (I < J) { //сосед не обсчитан
...
cell[I] = f2(cell[J]);
cell[J] += ...
}
```

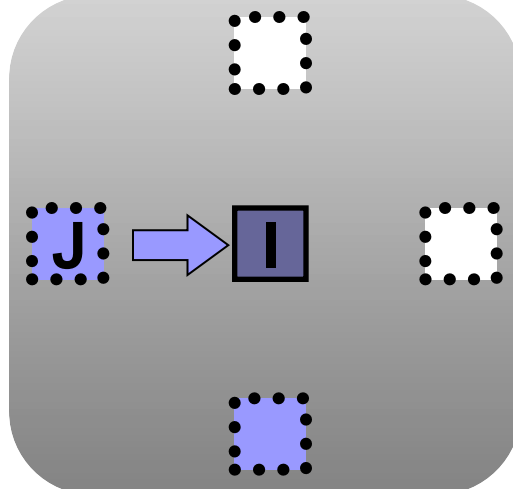
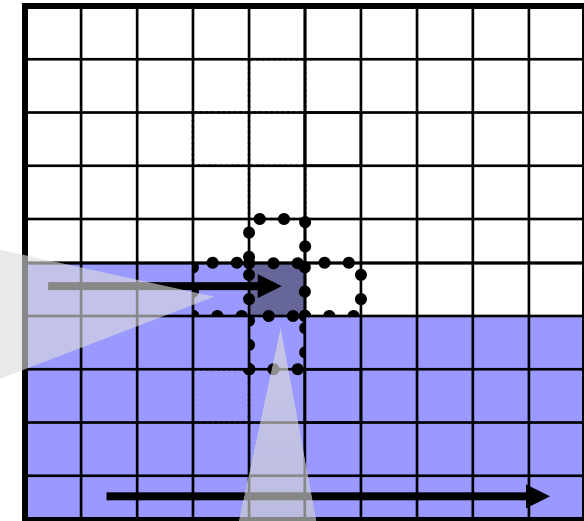
- ячейка обсчитана
- ячейка не обсчитана



# Порядок обхода ячеек расчетной области, неявная схема:

```
if (I > J) { //сосед обсчитан  
...  
cell[I] = f1(cell[J]);  
...  
}
```

```
if (I < J) { //сосед не обсчитан  
...  
cell[I] = f2(cell[J]);  
cell[J] += ...  
}
```

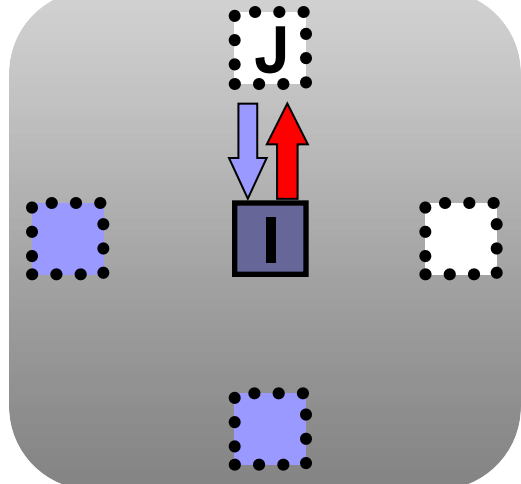
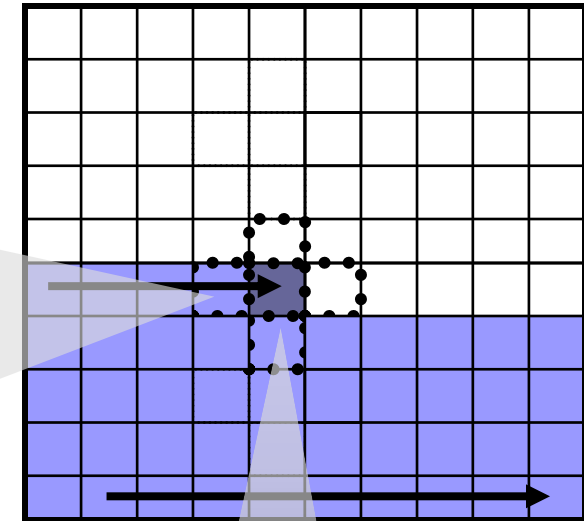


- ячейка обсчитана
- ячейка не обсчитана

# Порядок обхода ячеек расчетной области, неявная схема:

```
if (I > J) { //сосед обсчитан  
...  
cell[I] = f1(cell[J]);  
...  
}
```

```
if (I < J) { //сосед не обсчитан  
...  
cell[I] = f2(cell[J]);  
cell[J] += ...  
}
```



- ячейка обсчитана
- ячейка не обсчитана

# LU-SGS - распараллеливание

Цель: создать **эффективный** параллельный алгоритм для неявного метода LU-SGS, **в точности** реализующий работу последовательного

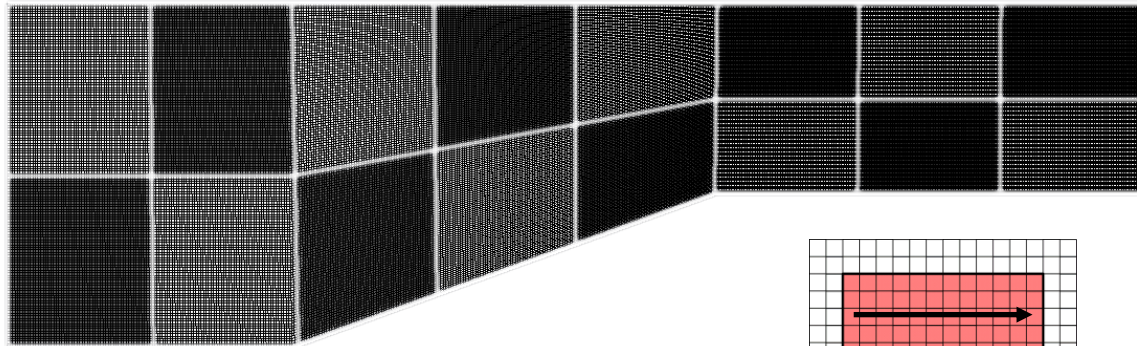
Особенности метода позволяют ввести  
2-уровневую параллельность:

- Разделение работы на несколько GPU;
- Работа внутри одного многопоточного GPU;

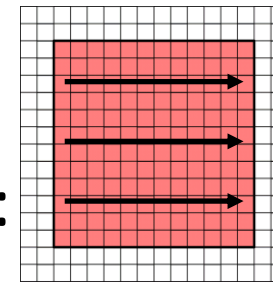
**Для этого необходимо выбрать специальный  
порядок обхода ячеек.**

# Глобальный порядок обхода ячеек расчетной области

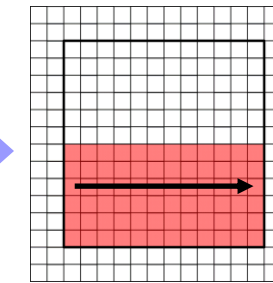
1. Декомпозиция расчетной области – «black» и «white» блоки:



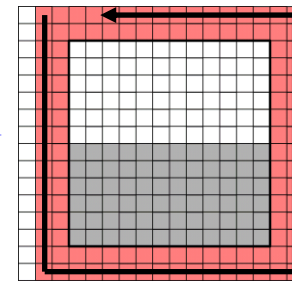
2. Обход блоков (forward):



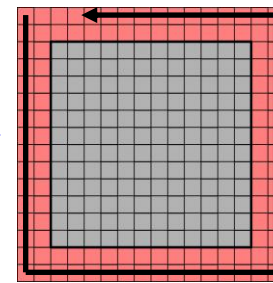
**black**



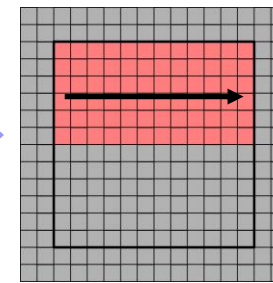
**white**



**white**



**black**

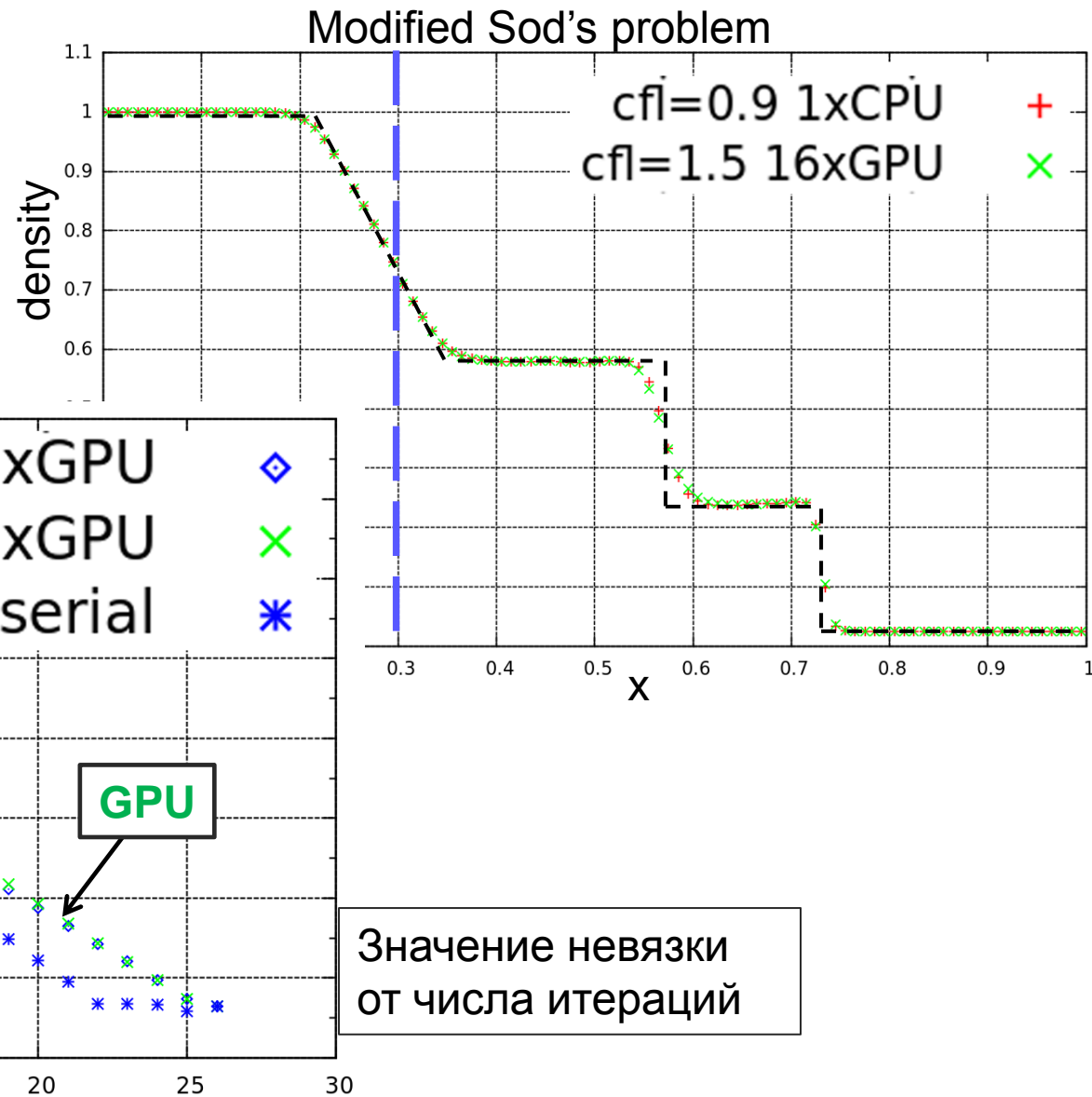


**white**

- - ячейки обсчитываются
- - ячейки обсчитаны
- - ячейки еще не обсчитаны

# Результаты расчетов

1D, Распределение  
плотности,  $t=0.2$ ,  
100 ячеек

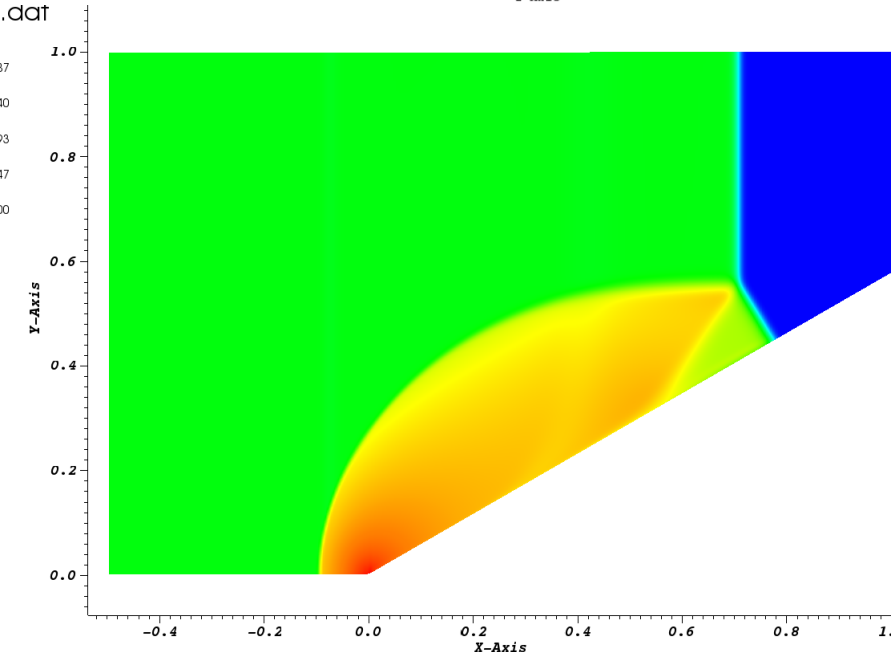
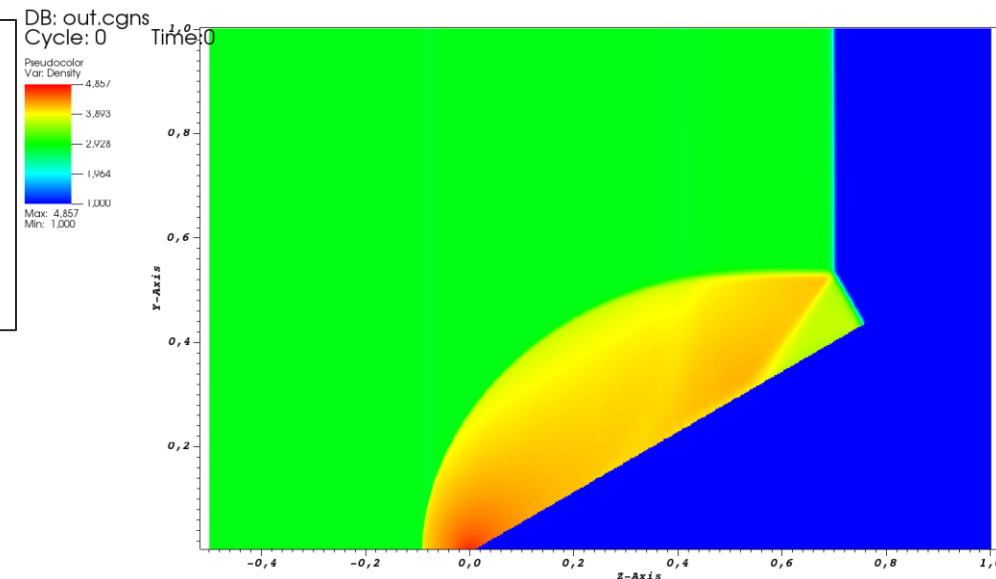


# Результаты расчетов

3D, Распределение давления,  $t=0.32$  с, несвязная декартова сетка  $600 \times 400 \times 6$ , метод свободной границы

Обтекание клина,  $M=2.12$ ,  $\theta=30^\circ$ .  
Н.у. – ударная волна: до фронта  $p=1, \rho=1, v=0$ , после фронта – с условием Ренкина – Гюгонио

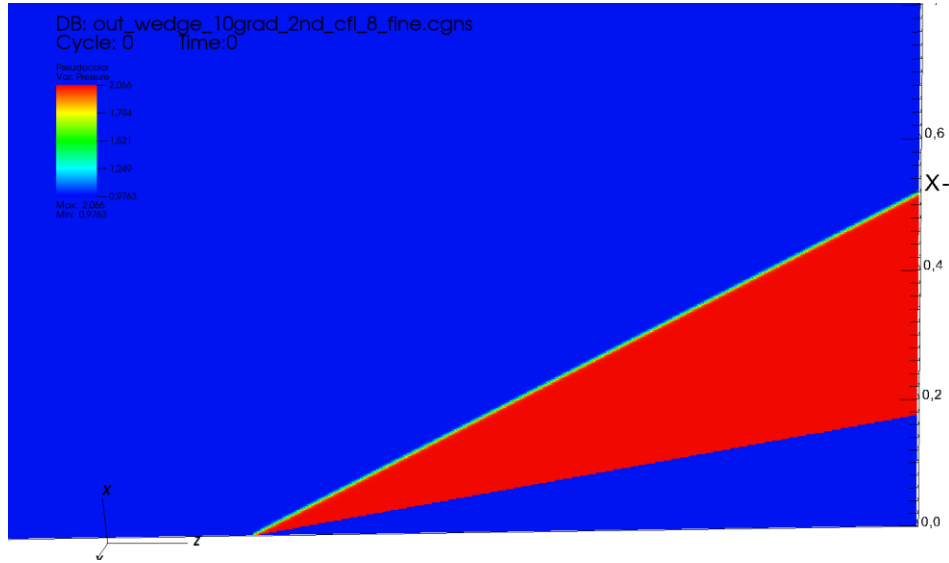
2D, Распределение давления,  $t=0.32$  с, связная декартова сетка  $300 \times 200$



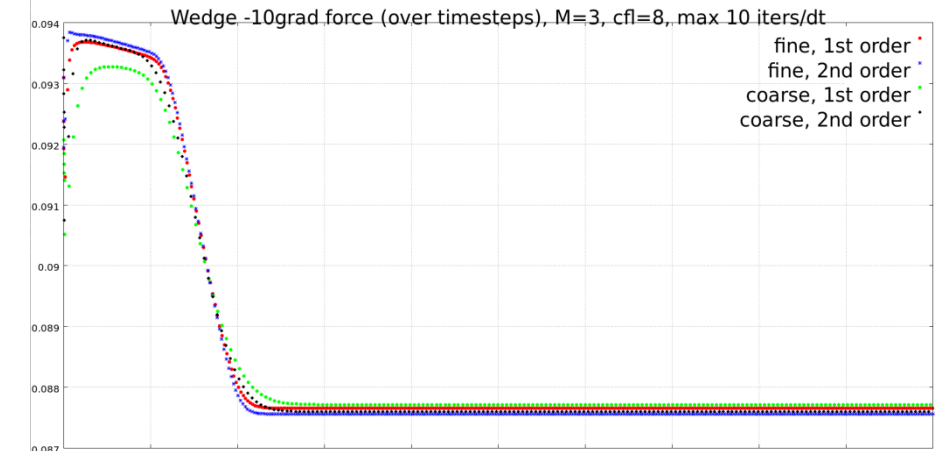
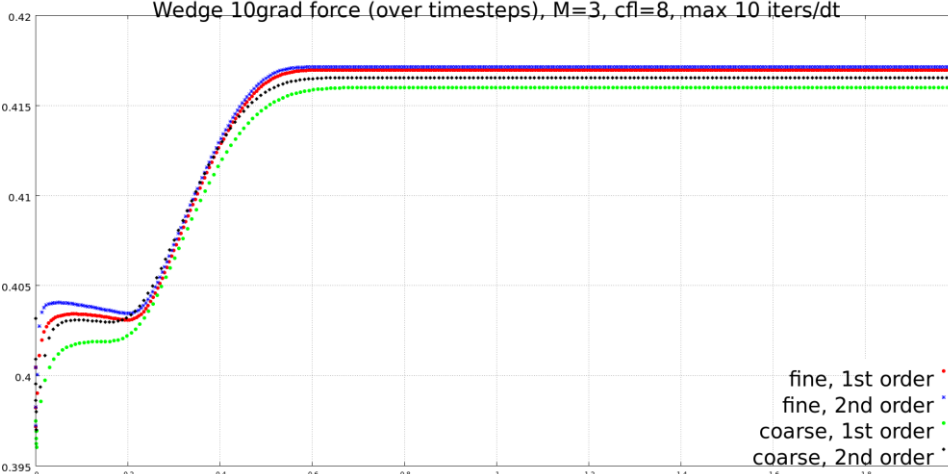
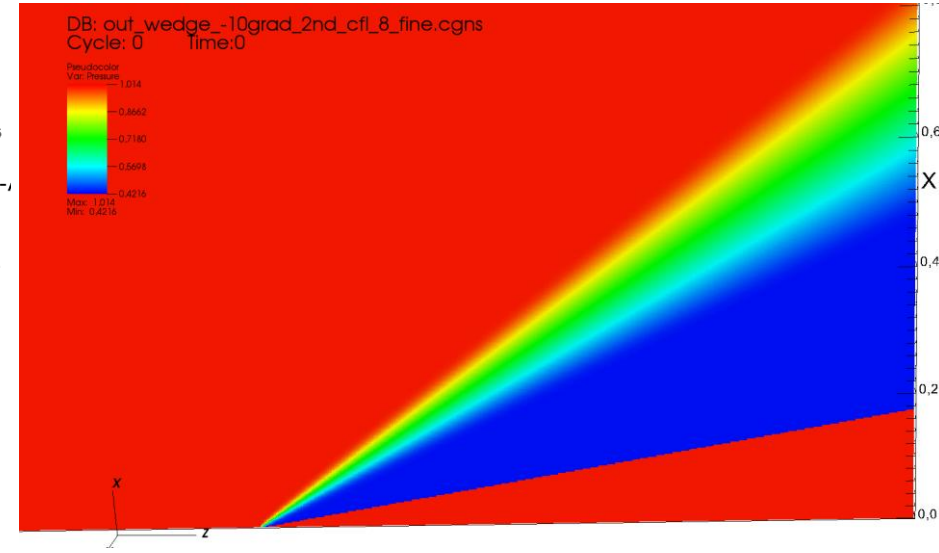
# Результаты расчетов

Клин 10°, набегающий поток - +/-10°, M=3

Ударная волна

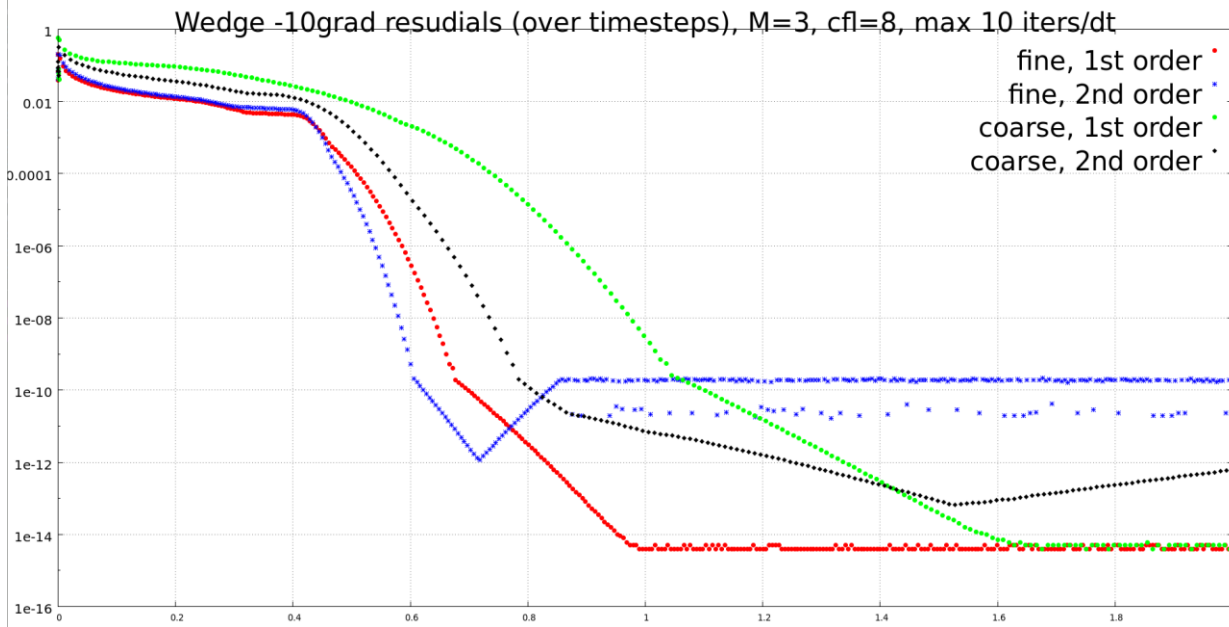
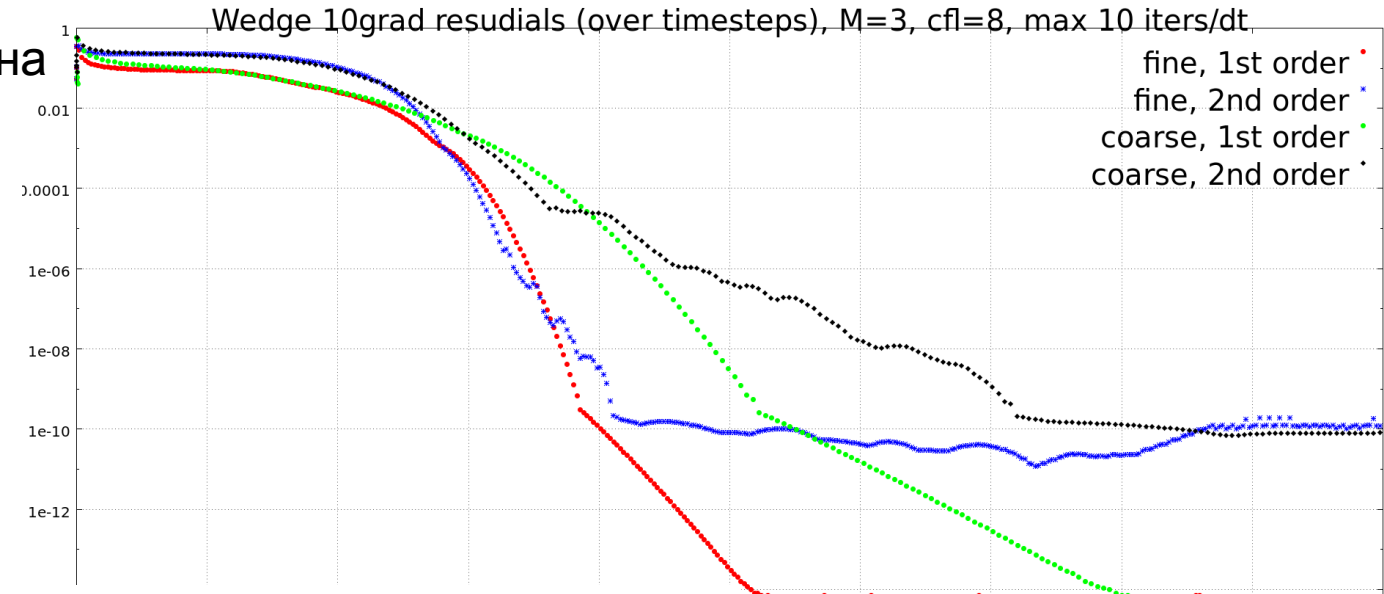


Волна разряжения



# Результаты расчетов

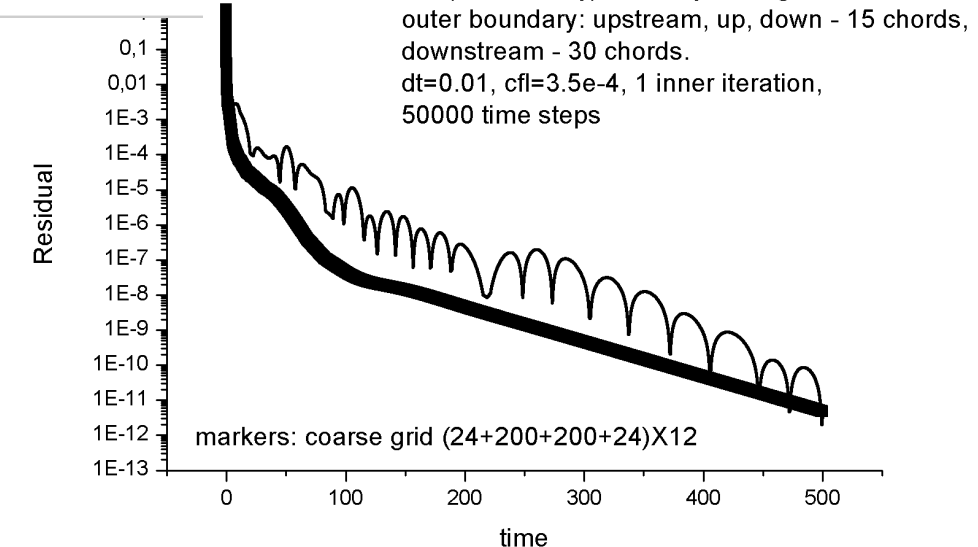
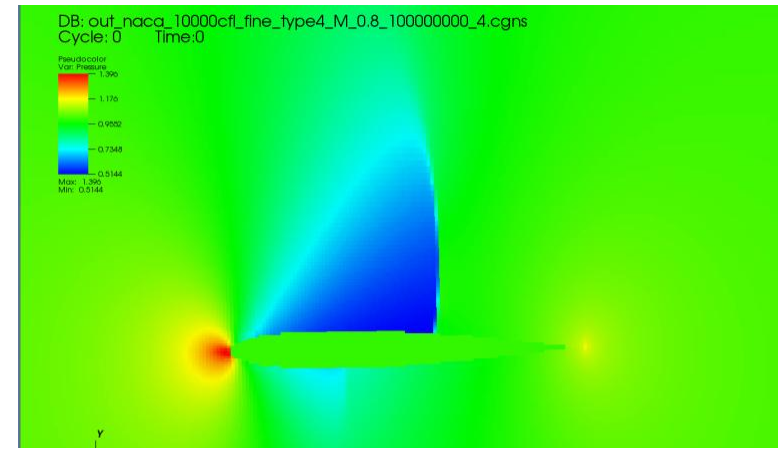
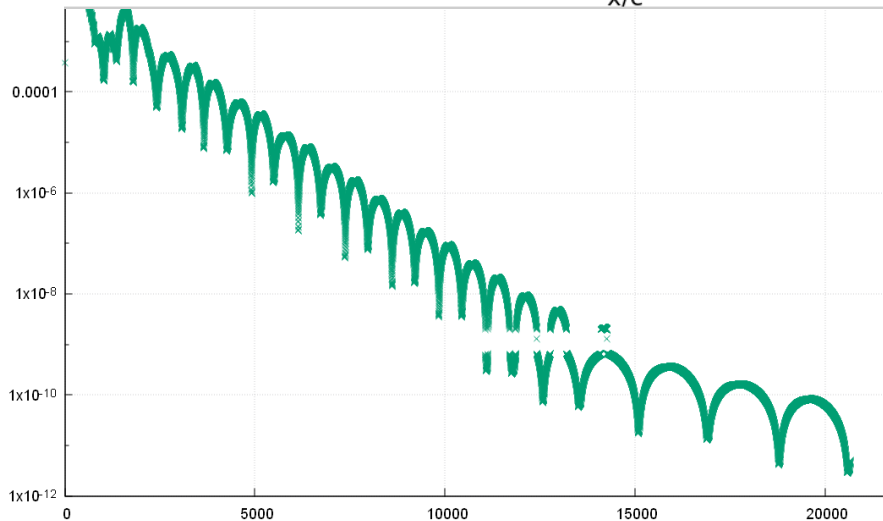
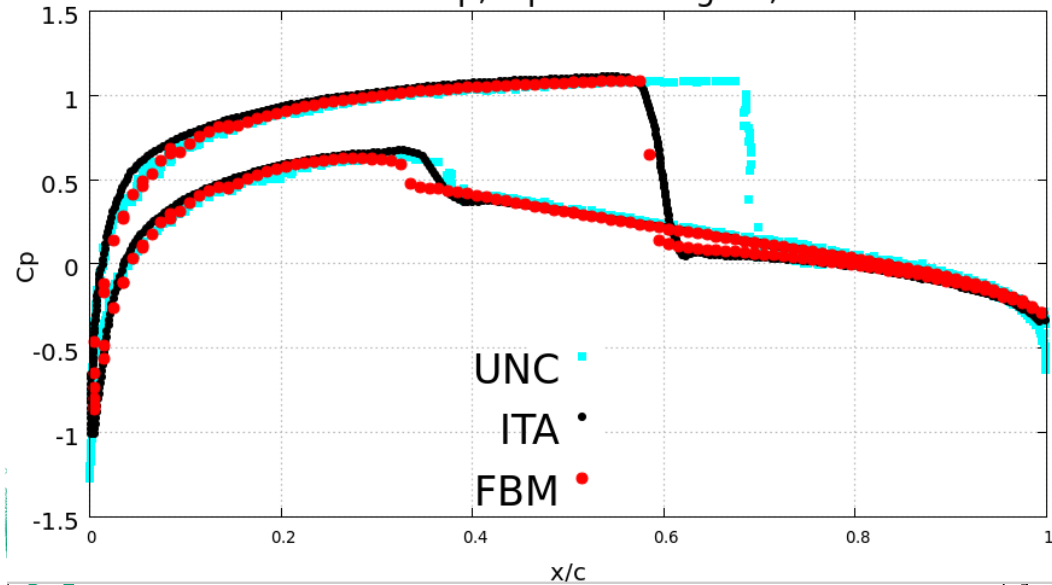
Клин 10°, ударная волна



Клин 10°, волна  
разряжения

# Результаты расчетов

NACA 0012 Cp, Alpha=1.25 grad, M=0.8

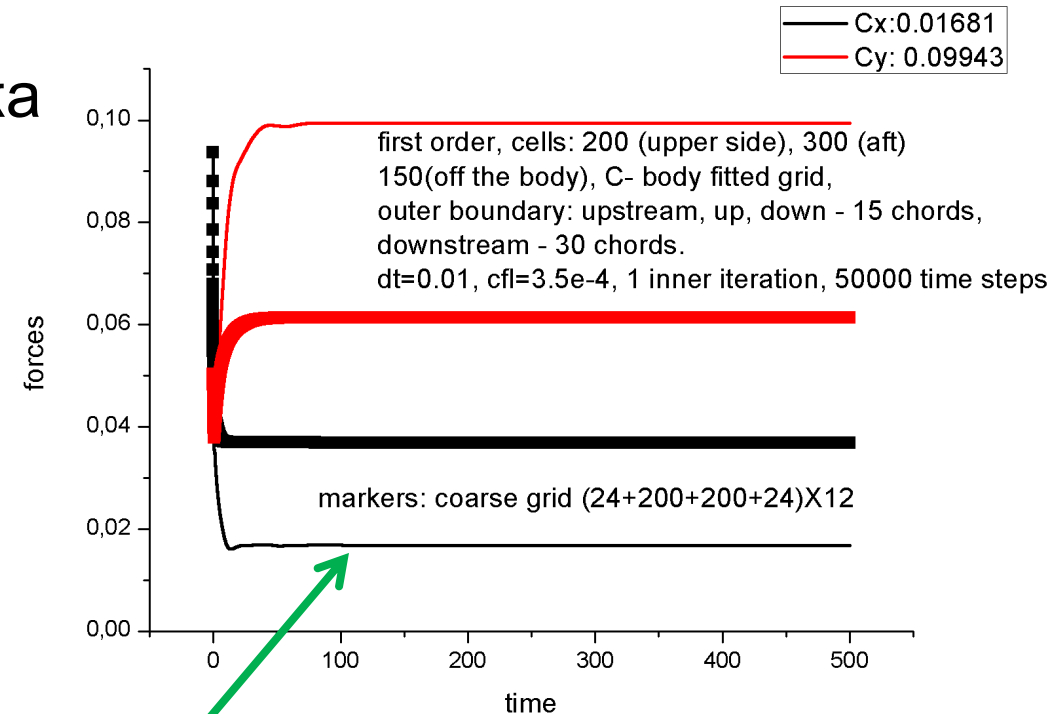
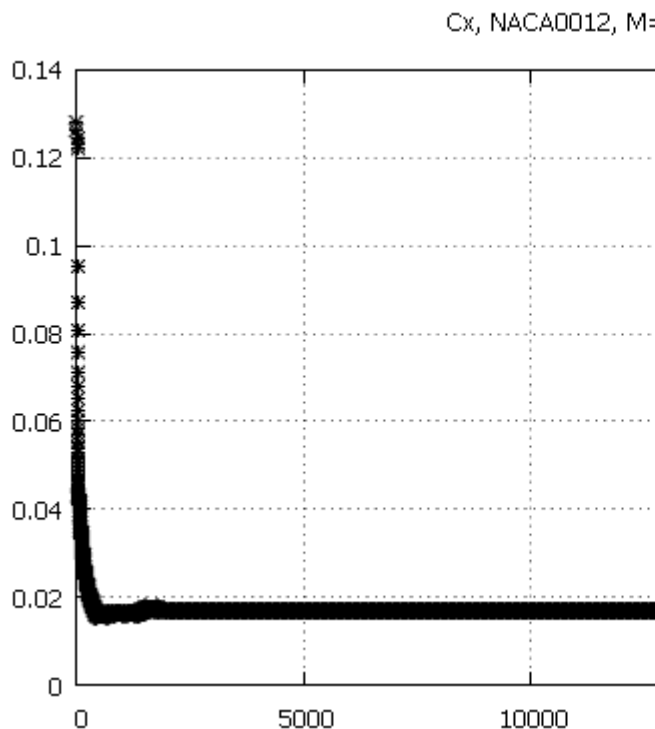


first order, cells: 200 (upper side), 300 (aft), 150 (off the body), C- body fitted grid, outer boundary: upstream, up, down - 15 chords, downstream - 30 chords.

dt=0.01, cfl=3.5e-4, 1 inner iteration, 50000 time steps

# Результаты расчетов

## Связная сетка

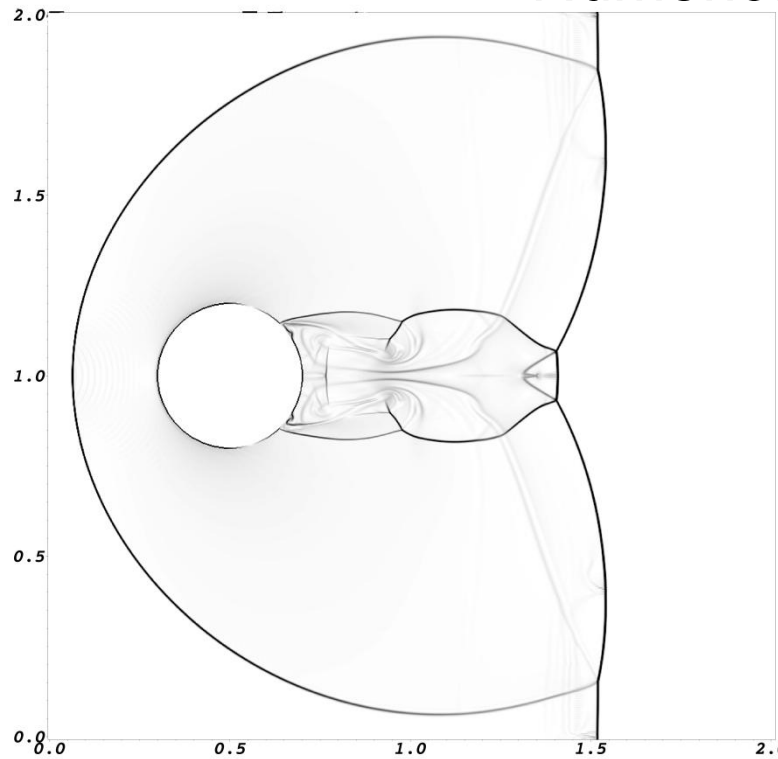


FBM

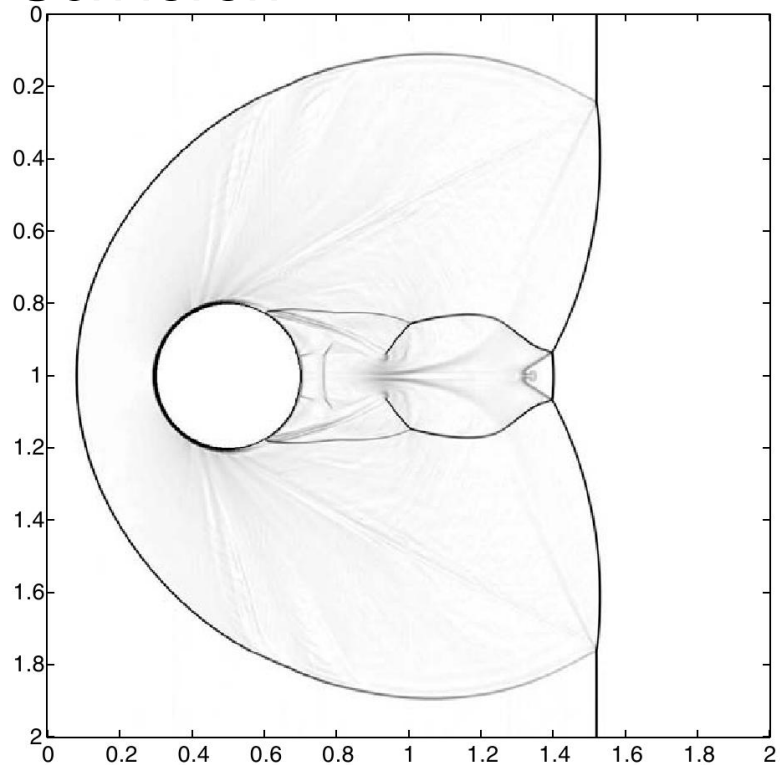
# Результаты расчетов

2D, Обтекание цилиндра,  $M=3$ ,  $1024 \times 1024$ ,  $t=0.4$

Numerical Schlieren



Free Boundary Method (32 GPU)



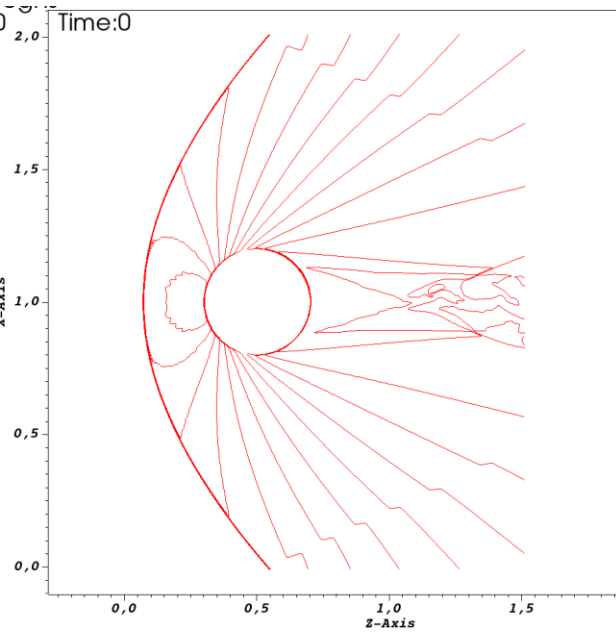
Penalisation Method\*

\*O. Boirona, G. Chiavassa, R. Donat. *A high-resolution penalization method for large Mach number flows in the presence of obstacles* // Computers & Fluids, N 38, pp 703-714, 2009.

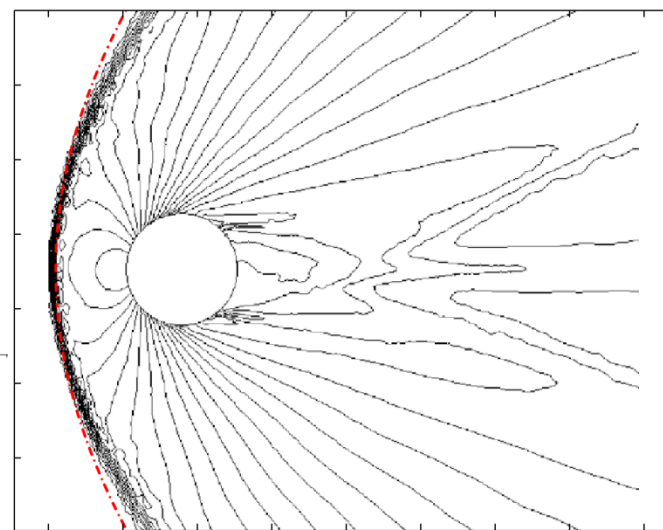
# Результаты расчетов

2D, Обтекание цилиндра,  $M=2$ ,  $1024 \times 1024$

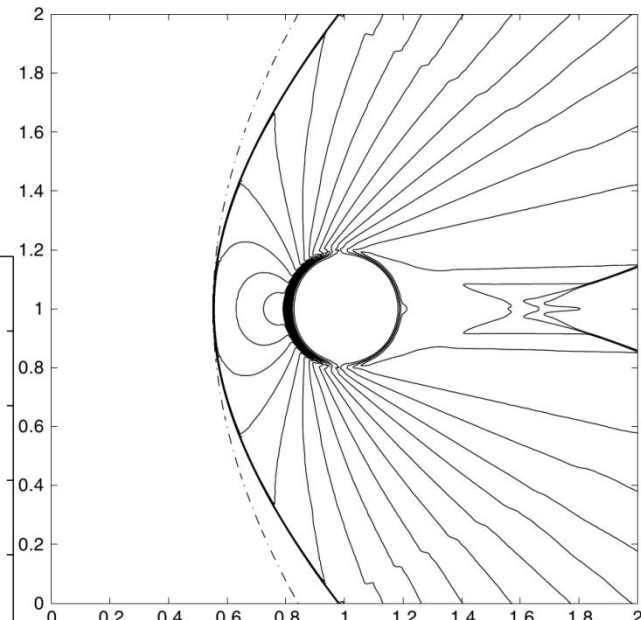
Isodensity lines



Free Boundary Method  
(32 GPU)



Fluent (unstructured)

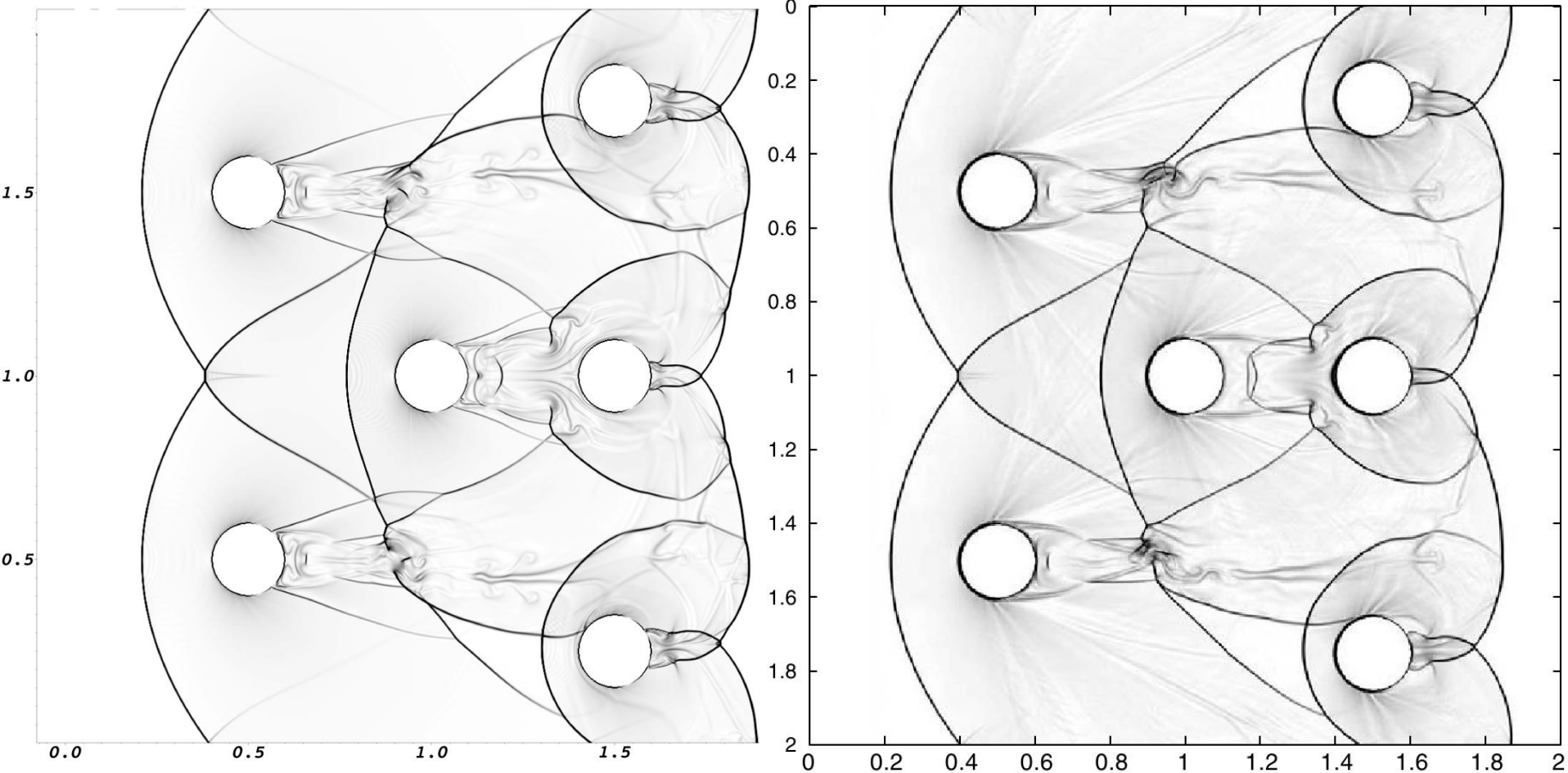


Penalisation Method

# Результаты расчетов

2D, Обтекание группы цилиндров,  $M=3$ ,  $1024 \times 1024$ ,  $t=0.5$

Numerical Schlieren



Free Boundary Method (32 GPU)

Penalisation Method

# Результаты расчетов

## DLR F6

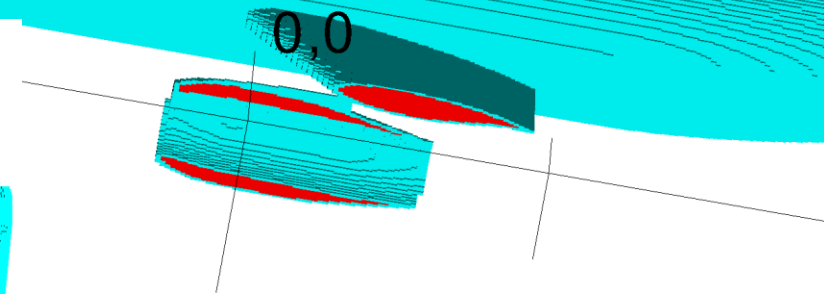
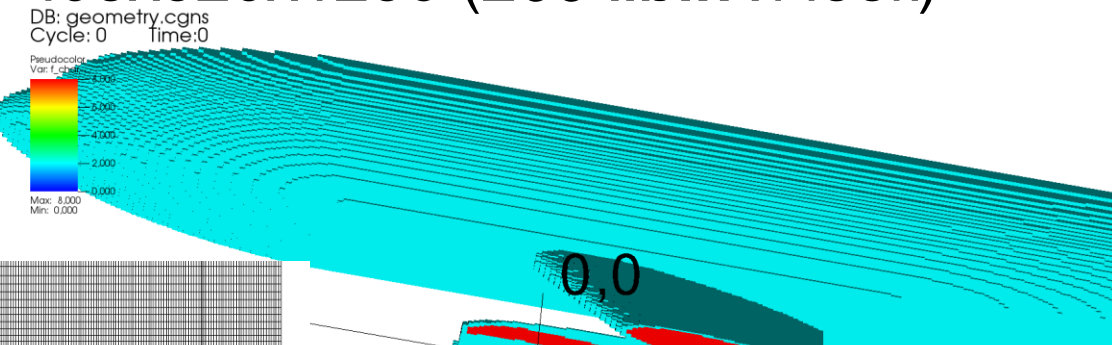
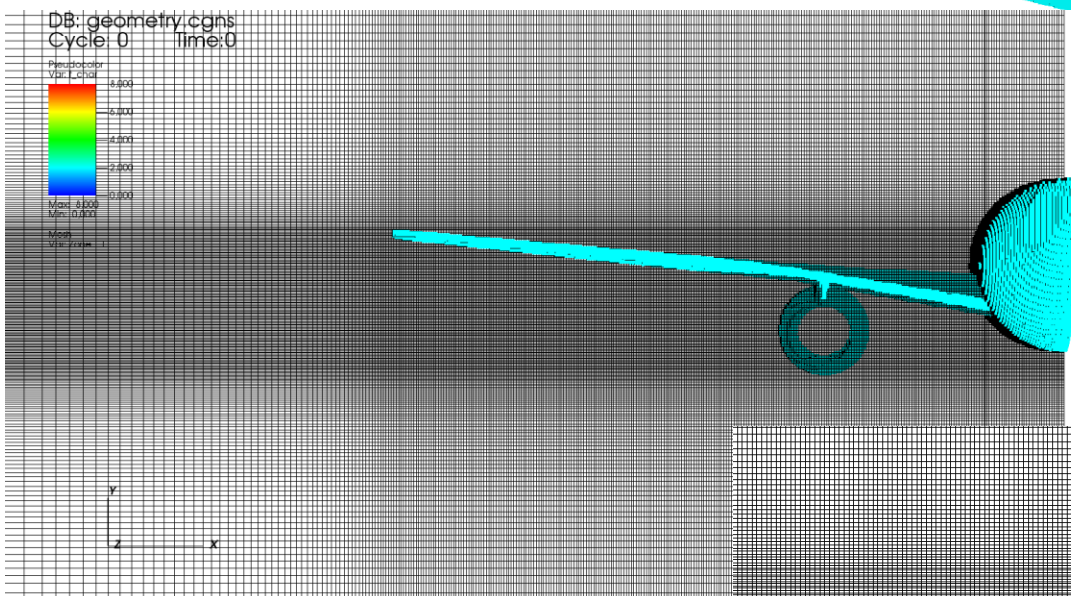


Ручное построение геометрии - до 1.5 месяцев

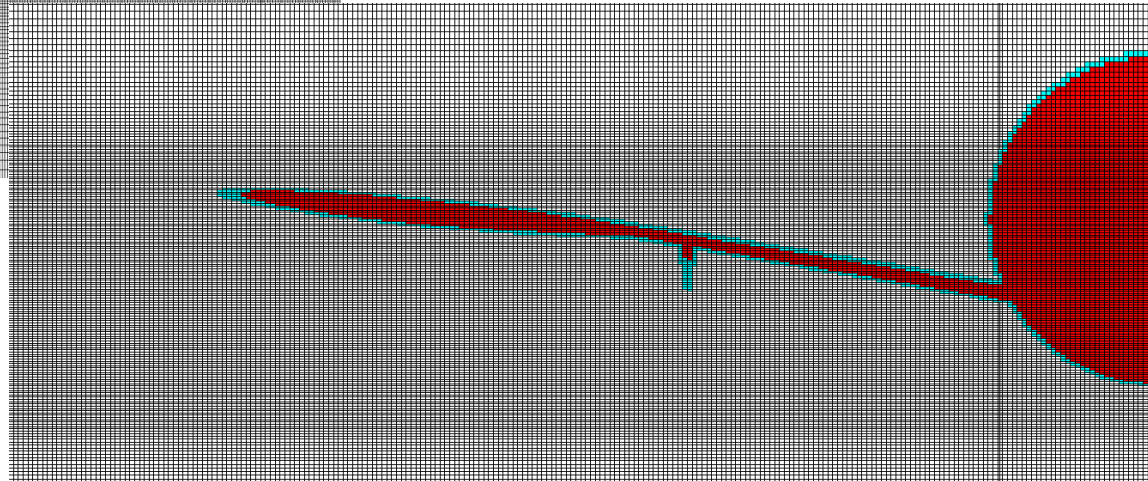
# Результаты расчетов

DLR F6, расчетная сетка - 408x520x1256 (266 млн ячеек)

## Автоматическое построение



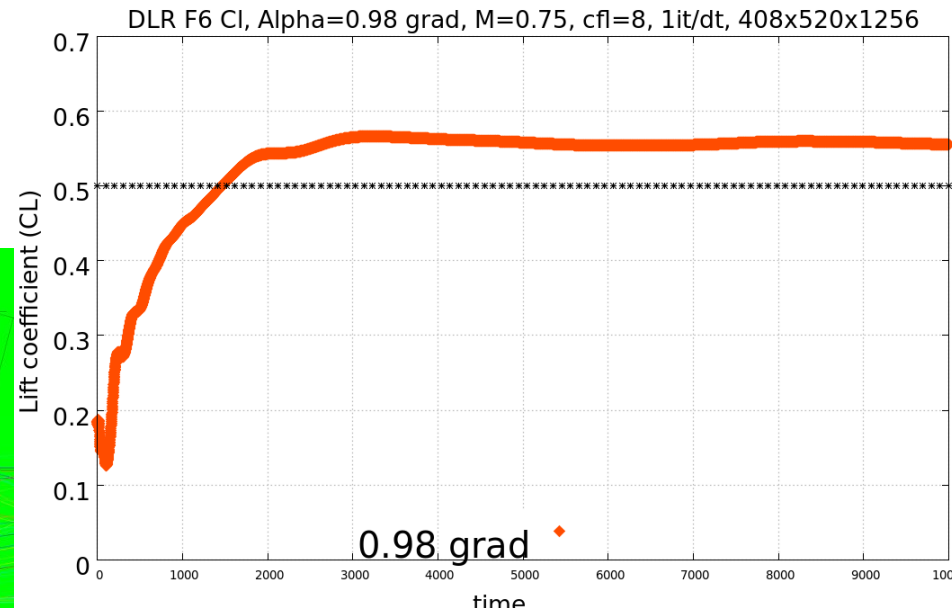
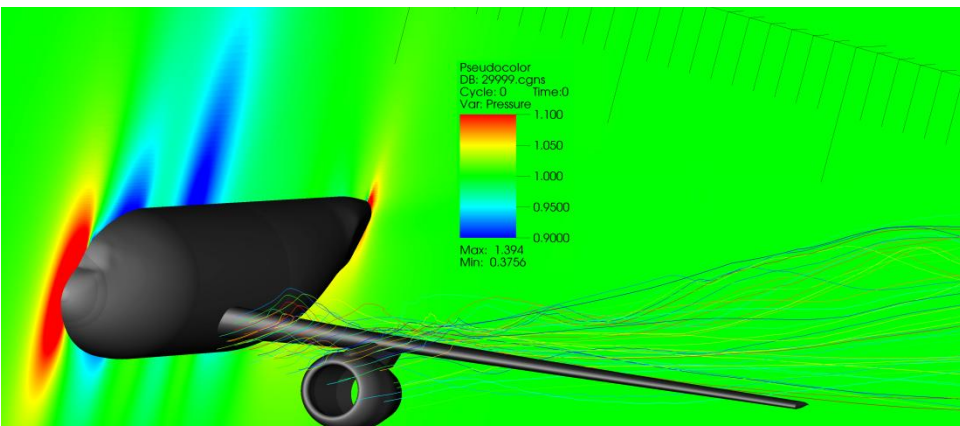
user: kvant



- - пересекаемая ячейка
  - - внутренняя ячейка

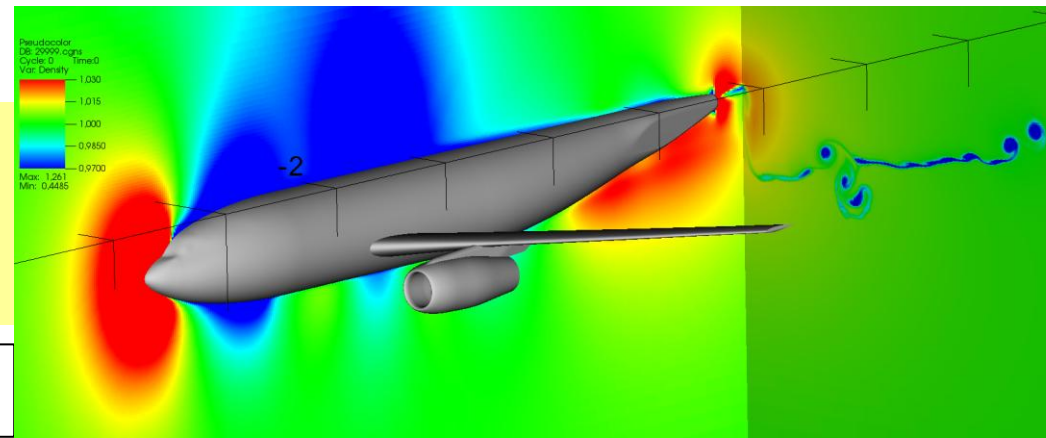
# Результаты расчетов

3D, DLR F6,  $M=0.75, \alpha=0.98^\circ$ , 260 млн ячеек,



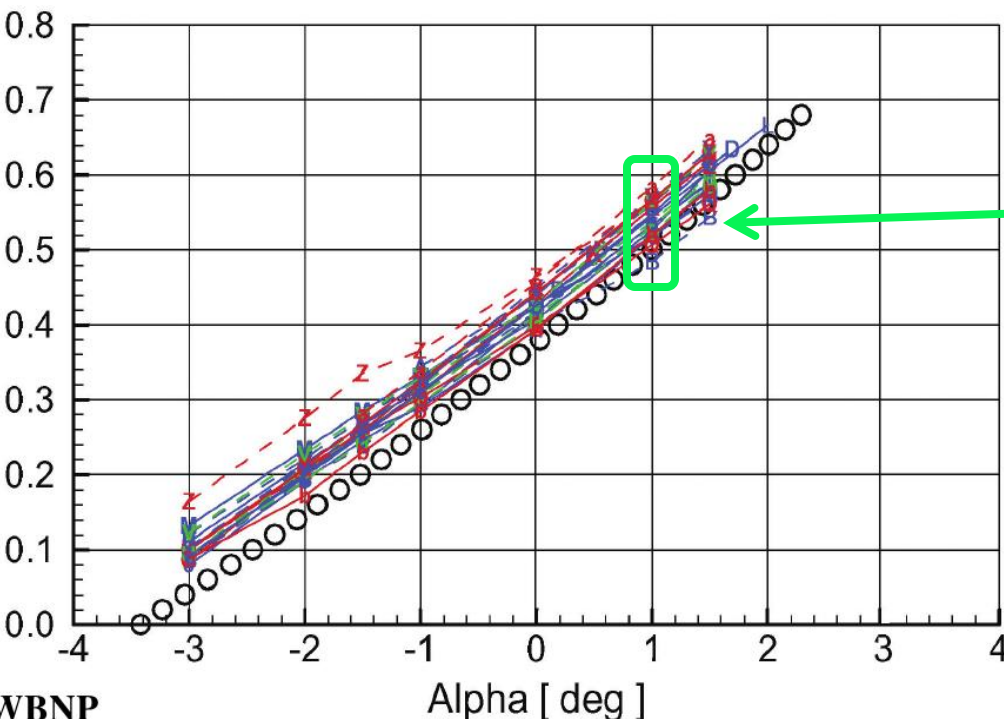
Pressure & streamlines

162 GPU, 3 часа  
СК «Лобачевский»,  
ННГУ им Н.И.Лобачевского



Density

# Результаты расчетов



, 260 млн ячеек,

F6 Cl, Alpha=0.98 grad, M=0.75, cfl=8, 1it/dt, 408x520x1256

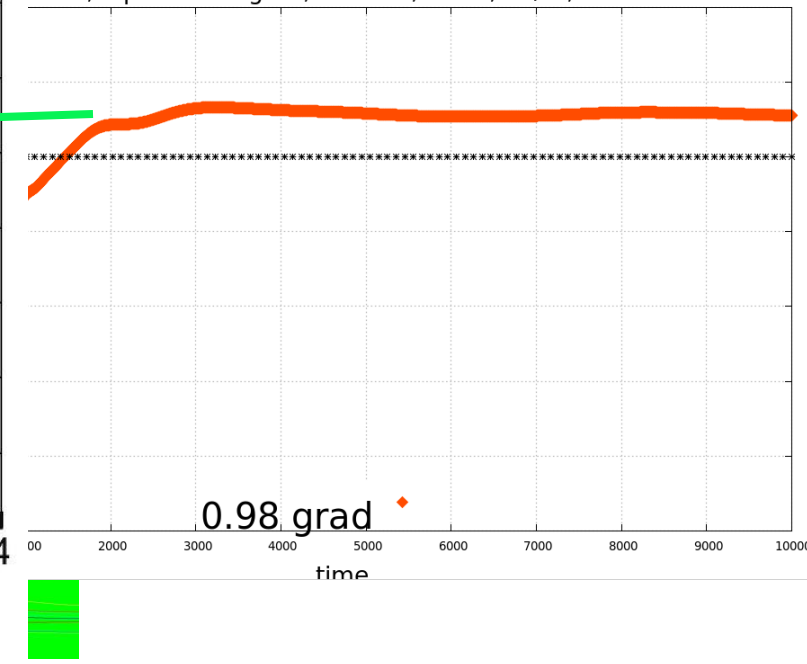
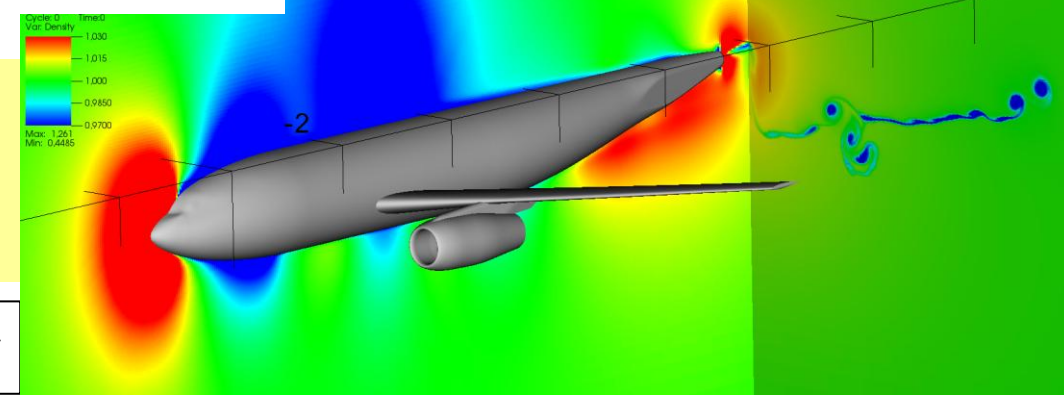


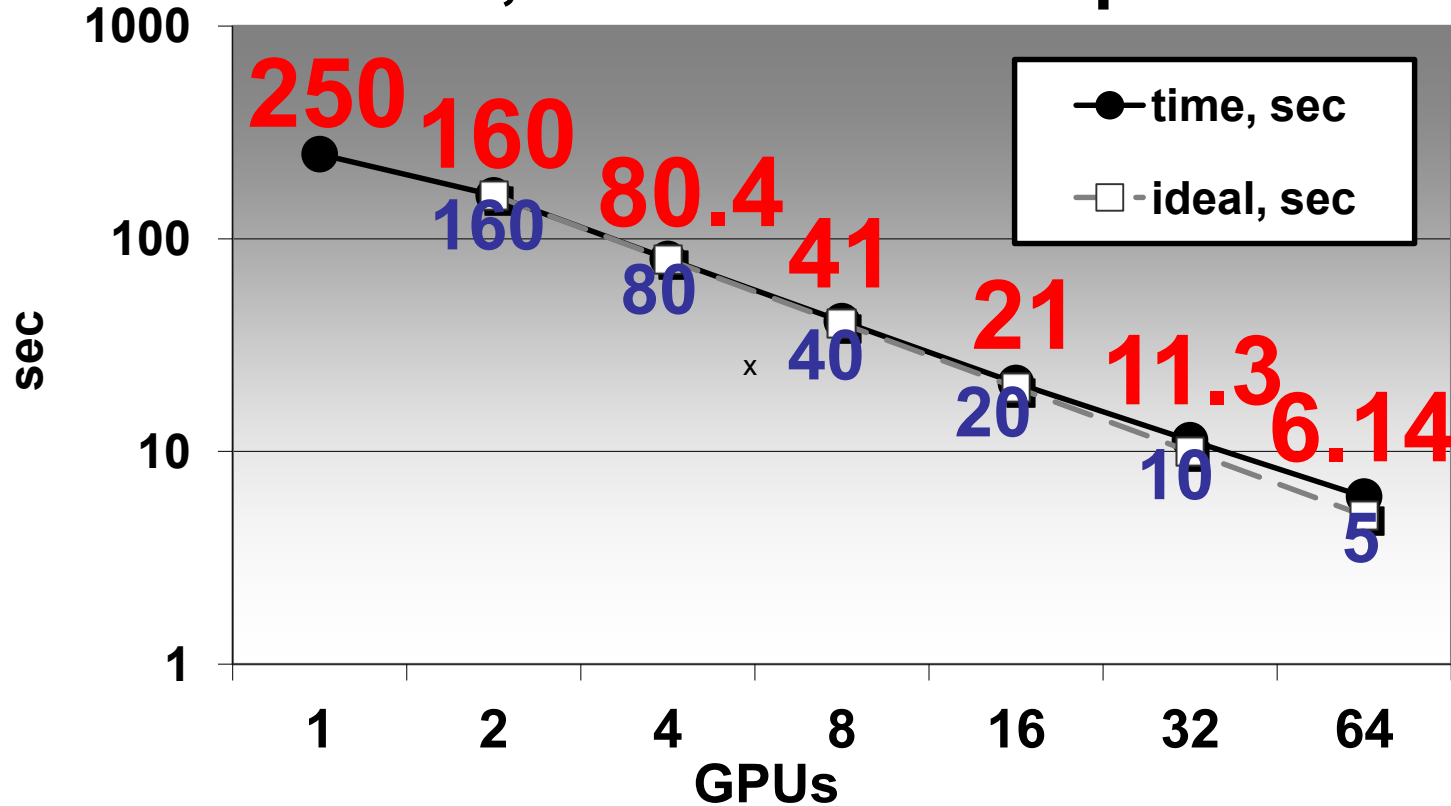
Fig. 10 Composite lift curve results for case 2:  $M_\infty = 0.75$ .

162 GPU, 3 часа  
СК «Лобачевский»,  
ННГУ им Н.И.Лобачевского



# Масштабируемость, 2D

## Обтекание клина, 3.9 млн ячеек, M=2, 100 шагов по времени



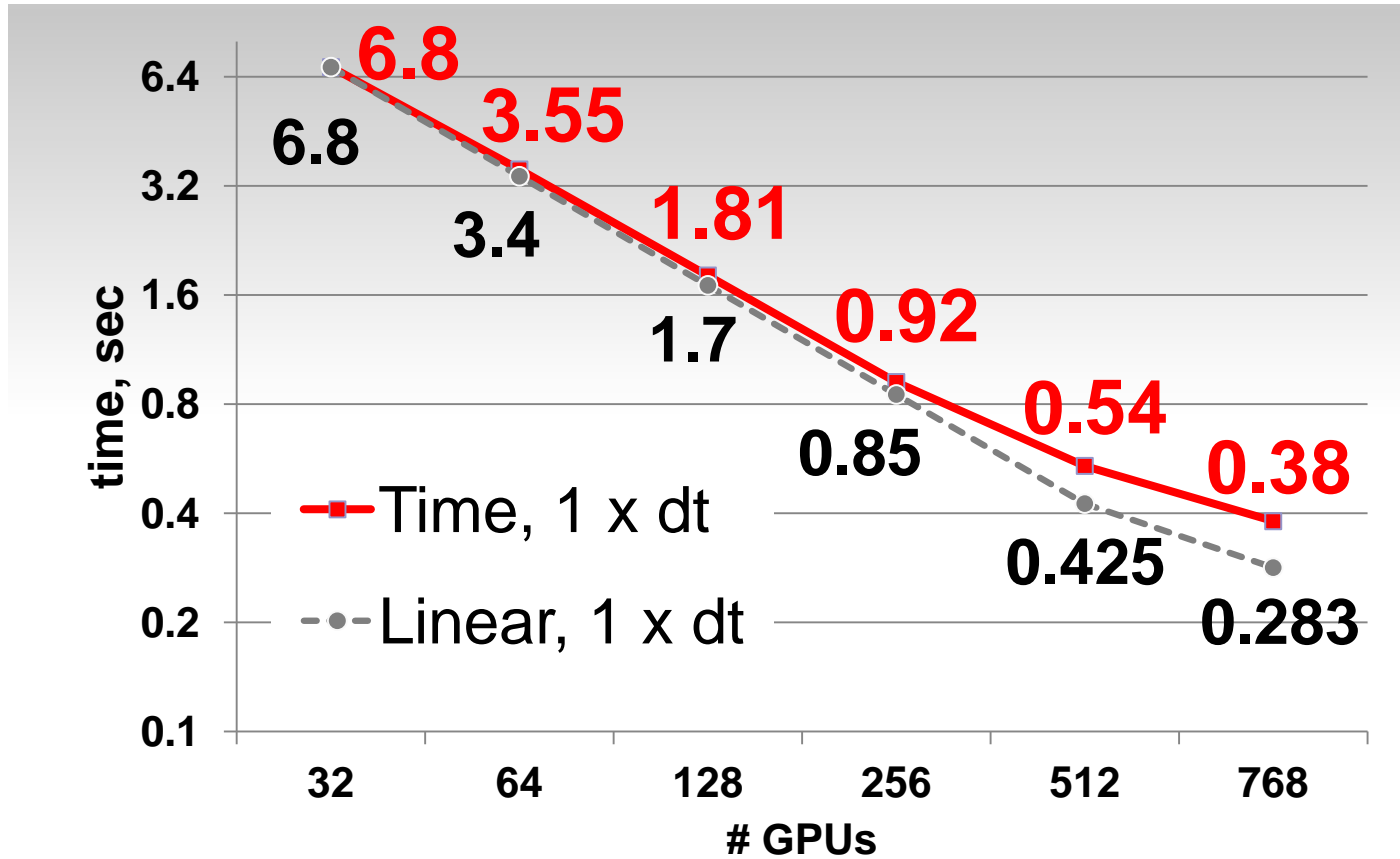
СК К100, ИПМ им М.В. Келдыша

Эффективность – **80%** на 64 GPU

# Масштабируемость, 3D

**150 млн ячеек, 1 шаг по времени**

(взаимодействие ударной волны и погран слоя)



СК «Ломоносов», МГУ им М.В. Ломоносова

**Эффективность – 75% на 768 GPU**

Ускорение 1 GPU / 1 CPU(core) ~ 15-30x

# Выводы

- Построен параллельный алгоритм для метода LU-SGS, доказана его корректность и эквивалентность последовательной версии;
- Реализован эффективный программный комплекс на основе параллельной версии LU-SGS с использованием метода свободной границы и декартовых сеток для расчета задач газовой динамики на multi-GPU системах;
- Предварительные результаты показали корректность работы программного комплекса и его хорошую масштабируемость на системах петафлопного уровня;
- Проведено численное моделирование ряда задач аэродинамики;

# Планы

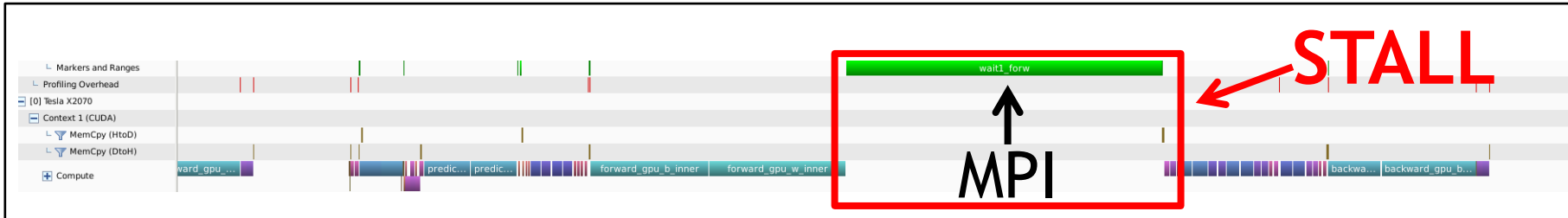
- Учет вязких диссипативных эффектов;
- Решение сопряженных задач газовой динамики и механики твердого тела;
- Оптимизация решателя под современные и будущие архитектуры GPU и других сопроцессоров;
- Real-time визуализация расчетов;



**Спасибо за внимание!**

# Взаимодействие CUDA и MPI

## MPI Send/Recv - RENDEZVOUS (default)



**Rendezvous → Eager: +30% performance!**

## MPI Send/Recv - EAGER

